Für einen optimalen Ladungswechsel hat jede der Flächen I bis V gemäß Bild 7.6 ihre Bedeutung. Für eine schnelle Druckabsenkung beim Auslaß der Abgase ist nicht der Zeitpunkt AÖ allein maßgebend, sondern die Fläche I. Die Fläche II muß möglichst groß sein, da davon die Größe des Druckes p, (Bild 7.1) abhängt. Die Fläche III während der gleichzeitigen Öffnung von Einlaß- und Auslaßventil bewirkt eine Ausspülung der Restgase. Die Überschneidung darf bei Dieselmotoren groß gewählt werden, da nur mit reiner Luft gespült wird. Bei Vergasermotoren bleibt die Überschneidung zur Vermeidung von Kraftstoffspülverlusten klein. Fläche IV soll wieder möglichst groß sein, da davon die Größe p_a des Ansaugdruckes (Bild 7.1) abhängt. Die Größe der Fläche V und der Zeitpunkt ES beeinflussen die Motorencharakteristik stark. Die unterschiedlichen Steuerdiagramme für den sportlichen Motorradmotor und den Gebrauchs-PKW-Motor gemäß Bild 7.6 führen zu unterschiedlichen Drehmoment- und Leistungscharakteristiken beider Motoren (Bild 7.7). Bei modernen Hochleistungs-PKW-Motoren der gehobenen Fahrzeugklassen versucht man deshalb, durch veränderliche Steuerungsdiagramme [7.52] [7.53] [7.54] [7.55] die Vorteile des höheren Drehmoments bei niedrigen Motordrehzahlen [7.61] des Gebrauchs-PKW-Motors mit dem höheren Moment des sportlichen Motors bei großen Drehzahlen zu kombinieren (Bild 7.7/1).

7.2.5. Kinematik

Aus der gewählten Bauart der Ventilsteuerung, die vom Einsatzzweck und von den damit verbundenen notwendigen Größen, wie Drehzahlbereich, erforderliche Steuerzeiten und Zeitquerschnitte bzw. Steuerwinkel und Winkelquerschnitte, abhängt, ergibt sich die Anordnung der Steuerungsteile im Motor. Antriebsnocken und Ventile sind in jeder Steuerung enthalten; Stößel, Stößelstangen und Kipphebel können vorhanden sein. Beim Vorhandensein von Kipphebeln und Schlepphebeln sind die kinematischen Größen Ventilhub $h_{\rm V}$ und Stößelhub s, Ventilgeschwindigkeit $v_{\rm v}$ und Stößelgeschwindigkeit $v_{\rm v}$ ventilgeschwindigkeit $v_{\rm v}$ ventilgeschwindigkeit $v_{\rm v}$ und Stößelgeschwindigkeit $v_{\rm v}$ ventilgeschwindigkeit $v_{$

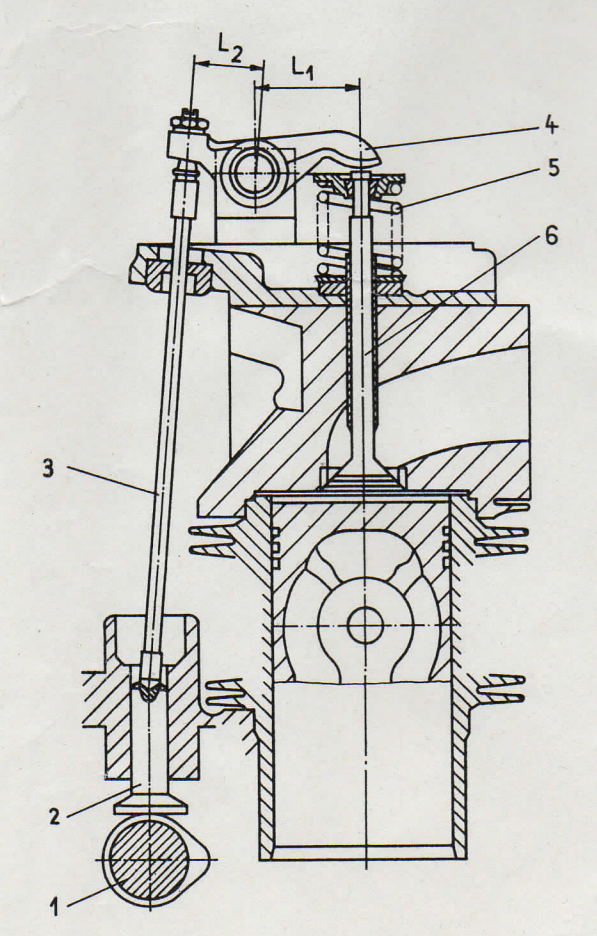


Bild 7.8. Anordnung der Steuerungsteile eines schnelllaufenden IFA-MC-Dieselmotors [7.10]

1 Nockenwelle; 2 Pilzstößel; 3 Stößelstange; 4 Kipphebel; 5 Ventilfeder; 6 Ventil

wird als Übersetzungsverhältnis des Kipphebels i definiert (vgl. Bild 7.8):

$$i = \frac{L_1}{L_2} = \frac{\text{Abstand Ventilachse zum Kipphebeldrehpunkt}}{\text{Abstand Stößelachse zum Kipphebeldrehpunkt}}. \tag{7.18}$$

Für die weiteren Größen gilt

$$h_{\mathbf{V}} = i \cdot s \tag{7.19}$$

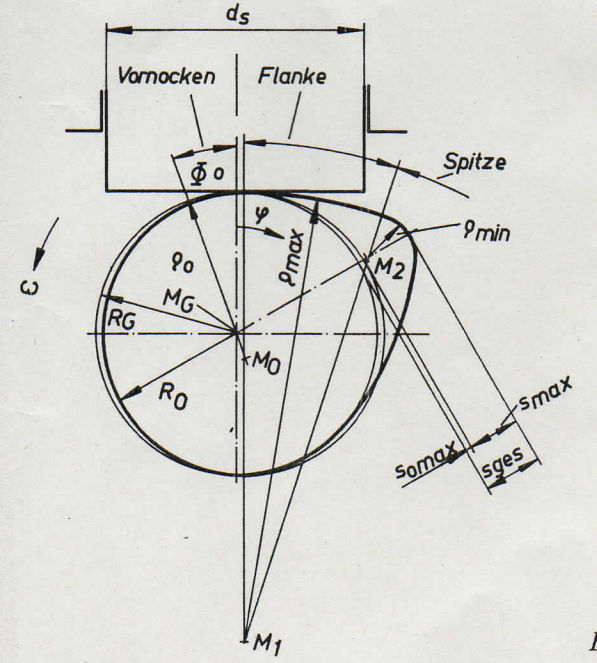
$$v_{\rm v} = i \cdot v \tag{7.20}$$

$$a_{\mathbf{v}} = i \cdot a \tag{7.21}$$

 $i = 1,0 \dots 1,3$ für Kipphebel $i = 1,2 \dots 1,6$ für Schlepphebel

Beim Direktantrieb des Ventils über eine obenliegende Nockenwelle und zwischengeschaltete Tassenstößel sind die kinematischen Größen s und $h_{\rm V}$, v und $v_{\rm v}$, a und $a_{\rm v}$ für Stößel und Ventil identisch.

Zum Erreichen des erforderlichen Öffnungsverlaufes besteht die Nockenanlaufbahn, d. h. die Nockenflanke, aus charakteristischen Teilstücken (vgl. Bild 7.9). Die Nockenbahn erhebt sich über den Grundkreis R_0 , beginnend mit einem Vornocken oder der sog. Rampe. Zum sicheren Schließen des Ventils muß in der Kraftübertragung des Ventiltriebes stets ein Spiel vorhanden sein. Nach Überwindung des Ventilspieles entsteht ein Stoß, der proportional der Hubgeschwindigkeit v im Moment des Kraftschlusses zwischen Stößel und Nocken ist. Je kleiner das Ventilspiel ist, desto geringer sind die Stöße und die Geräusche vom Ventiltrieb. Das Ventilspiel wird deshalb nur wenige zehntel Millimeter gewählt. Der Vornocken hält diese Geschwindigkeit klein (vgl. Bild 7.10). Das Ventilspiel ist in Abhängigkeit von der Motortemperatur, dem Verschleißzustand und von elastischen Verformungen veränderlich. Der maximale Vornockenhub muß etwas größer sein als das größte Spiel, damit der Stoß bis zum Einsetzen der nachfolgenden Nockenflanke abklingt. Während des Vornockendrehwinkels Φ_0 wird der Stößel um den Betrag $s_{0\,\mathrm{max}}$ angehoben. Der Vornocken ist im Bild 7.9 ein Kreisbogen mit dem Radius ϱ_0 um M_0 . Dem Vornocken schließt sich die Anlaufflanke des Nockens an, während der der Stößel stark beschleunigt wird. Deshalb wird sie auch Beschleunigungsflanke genannt. Es folgt die Nockenspitze, während der der Stößel verzögert wird, deshalb auch Verzögerungsflanke genannt. Ihr folgt analog zur Anlaufflanke die Ablauf-(Beschleunigungs)-Flanke und zum Hubende wieder der Vornocken.



Ventilspiel - ohne vornocken vornock

Bild 7.10. Wirkung des Vornockens

Bild 7.9. Bezeichnungen am Nockentrieb

Bei der nachfolgenden Betrachtung verschiedener Nocken soll der Vornocken vorerst nicht mit betrachtet werden, da er bei maximalen Nockenhüben von mehreren Millimetern den Ladungswechsel nur wenig beeinflußt. Der Stößelweg s ist eine Funktion des Nockendrehwinkels φ :

$$s = f(\varphi). (7.22)$$

Daraus ergibt sich die Stößelgeschwindigkeit v

$$v = \frac{\mathrm{d}s}{\mathrm{d}t} = \frac{\mathrm{d}s}{\mathrm{d}\varphi} \cdot \frac{\mathrm{d}\varphi}{\mathrm{d}t} = \frac{\mathrm{d}s}{\mathrm{d}\varphi} \cdot \omega . \tag{7.23}$$

Bei konstanter Motordrehzahl ist auch die Winkelgeschwindigkeit ω konstant. Damit läßt sich schreiben

$$v = \omega \cdot f(\varphi). \tag{7.24}$$

Analog gilt für die Stößelbeschleunigung

$$a = \frac{\mathrm{d}v}{\mathrm{d}t} = \frac{\mathrm{d}v}{\mathrm{d}\varphi} \cdot \frac{\mathrm{d}\varphi}{\mathrm{d}t} = \frac{\mathrm{d}v}{\mathrm{d}\varphi} \cdot \omega \,, \tag{7.25}$$

damit wird

$$a = \omega^2 \cdot f(\varphi) \,. \tag{7.26}$$

Je nach der Form der Nockenflanke spricht man von Kreisbogen-, Tangenten-, Parabel- oder Integralnocken, wobei auch spezielle Nockenformen sinnvoll sind [7.7] [7.9].

Bei gleicher Anlauf- und Ablaufflanke ergeben sich symmetrische Nocken. Das Nockeneingriffsglied ist entweder eine Stößelrolle oder ein Flachstößel. Dabei können Flachstößel nicht mit Tangentennocken oder Kreisbogennocken mit hohler Anlaufflanke betrieben werden.

7.2.5.1. Kreisbogenocken mit Stößelrolle

Der Nocken ist im Bild 7.11 dargestellt. Die Kreisbogenstücke der Bahnkurve fügen sich knickfrei aneinander, d. h., die Tangenten an die Nockenbahn haben in den Übergangspunkten jeweils die gleiche Richtung. Zur Berechnung der kinematischen Größen der Stößelbahn für Nockenflanke und -spitze ist es sinnvoll, die Berechnungsskizze so zu wählen, daß das Nockeneingriffsglied – hier die Stößelrolle – die Nockenbahn im Übergang der Nockenflanke mit dem Krümmungsradius ϱ_{\max} zur Nockenspitze mit dem Radius ϱ_{\min} berührt. Der Betrag des Nockendrehwinkels beträgt an dieser Stelle $\varphi=\Phi_1$ (Beschleunigungswinkel). Der Dreh-

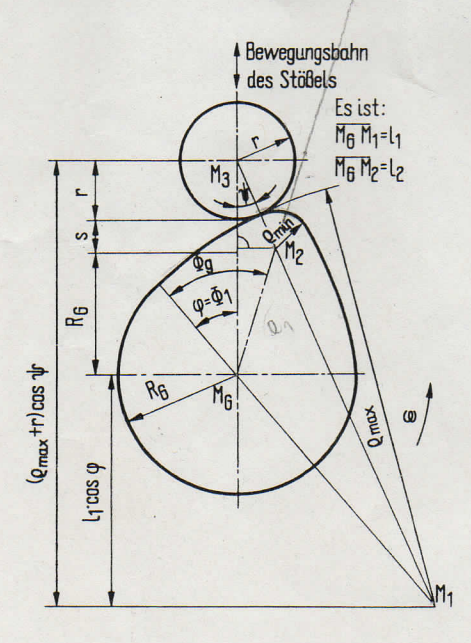


Bild 7.11. Kreisbogennocken mit Stößelrolle

winkel bis zum maximalen Ventilhub beträgt $\varphi = \Phi_{\rm g}$ (Öffnungswinkel). Es ergibt sich aus dem gesamten Einlaß- bzw. Auslaßsteuerwinkel $\alpha_{\rm E}$ bzw. $\alpha_{\rm A}$ des Motors

$$2\Phi_{\rm g} = \frac{\alpha_{\rm E,A}}{2}.\tag{7.27}$$

Die Berechnung des Stößelhubes erfolgt durch Differenzbildung der vom Nockendrehwinkel φ abhängigen Strecken in Hubrichtung und konstanter konstruktiver Größen. Als Hilfsveränderliche muß der Winkel ψ zwischen der Stößelhubrichtung und dem jeweiligen Radiusstrahl von M_1 nach M_3 eingeführt werden. Der Winkel ψ erreicht bei $\varphi = \Phi_1$ sein Maximum und wird dann wieder kleiner. Damit ergibt sich der Stößelhub im Bereich der Beschleunigungsflanke:

Für $0 \le \varphi \le \Phi_1$

$$s = (\varrho_{\text{max}} + r)\cos\psi - (l_1 \cdot \cos\varphi) - (R_G - r)$$
(7.28)

$$l_1 = \overline{M_G M_1} \tag{7.29}$$

$$R_{\rm G} = \varrho_{\rm max} - l_1 \tag{7.30}$$

$$s = l_1(1 - \cos \varphi) - (\varrho_{\text{max}} + r)(1 - \cos \psi). \tag{7.31}$$

Durch Anwendung des Sinussatzes im Dreieck $M_GM_1M_3$ wird ψ eliminiert:

$$\frac{l_1}{\varrho_{\text{max}} + r} = \frac{\sin \psi}{\sin \left(180^\circ - \varphi\right)} \tag{7.32}$$

$$\sin\left(180^\circ - \varphi\right) = \sin\varphi \,. \tag{7.33}$$

Gesucht wird jedoch

$$\cos \psi = \sqrt{1 - \sin^2 \psi} \,. \tag{7.34}$$

Daraus ergibt sich die Endgleichung für den Stößelhub:

$$s = l_1(1 - \cos \varphi) - (\varrho_{\text{max}} + r) \left[1 - \sqrt{1 - \left(\frac{l_1}{\varrho_{\text{max}} + r} \right)^2 \sin^2 \varphi} \right].$$
 (7.35)

Die Stößelgeschwindigkeit erhält man durch Bildung der Ableitung

$$v = \omega \cdot \frac{\mathrm{d}s}{\mathrm{d}\varphi} \tag{7.23}$$

$$v = \omega \cdot l_1 \cdot \sin \varphi \left[1 - \frac{\frac{l_1}{\varrho_{\max} + r} \cdot \cos \varphi}{\sqrt{1 - \left(\frac{l_1}{\varrho_{\max} + r}\right)^2 \sin^2 \varphi}} \right]. \tag{7.36}$$

Die Stößelbeschleunigung wird wiederum durch Ableitung der Geschwindigkeit nach φ gefunden:

$$a = \omega \cdot \frac{\mathrm{d}v}{\mathrm{d}\varphi} \tag{7.25}$$

$$a = \omega^2 \cdot l_1 \left\{ \cos \varphi - \frac{l_1}{\varrho_{\text{max}} + r} \cdot \frac{\cos 2\varphi + \left(\frac{l_1}{\varrho_{\text{max}} + r}\right)^2 \cdot \sin^4 \varphi}{\sqrt{1 - \left(\frac{l_1}{\varrho_{\text{max}} + r}\right)^2 \cdot \sin^2 \varphi}} \right\}. \tag{7.37}$$

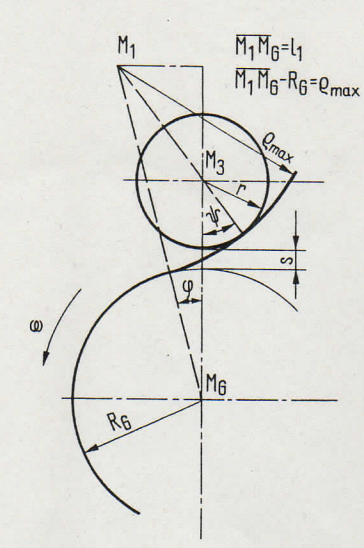


Bild 7.12. Kreisbogennocken mit Stößelrolle und hohler (konkaver) Anlaufflanke

Handelt es sich um einen Kreisbogennocken mit konkaver Anlaufflanke, dann liegt der Mittelpunkt M_1 des Radius ϱ_{max} der Beschleunigungsflanke oberhalb der Stößelrolle (Bild 7.12). Der Stößelhub s wird ebenfalls wieder durch Differenzbildung von Strecken in Hubrichtung berechnet:

$$s = l_1 \cdot \cos \varphi - (\varrho_{\text{max}} - r) \cos \varphi - R_G - r \tag{7.38}$$

$$R_{\rm G} = l_1 - \varrho_{\rm max} \tag{7.39}$$

$$s = -l_1(1 - \cos \varphi) + (\varrho_{\text{max}} - r)(1 - \cos \psi)$$
 (7.40)

$$s = -l_1(1 - \cos \varphi) + (\varrho_{\text{max}} - r) \left[1 - \sqrt{1 - \left(\frac{l_1}{\varrho_{\text{max}} - r}\right)^2 \sin^2 \varphi} \right]. \tag{7.41}$$

$$v = \omega \cdot l_1 \cdot \sin \varphi \left[\frac{\frac{l_1}{\varrho_{\max} - r} \cdot \cos \varphi}{\sqrt{1 - \left(\frac{l_1}{\varrho_{\max} - r}\right)^2 \sin^2 \varphi}} - 1 \right]. \tag{7.42}$$

und die Stößelbeschleunigung

$$a = \omega^2 \cdot l_1 \left\{ \frac{l_1}{\varrho_{\text{max}} - r} \cdot \frac{\cos 2\varphi + \left(\frac{l_1}{\varrho_{\text{max}} - r}\right)^2 \cdot \sin^4 \varphi}{\sqrt{1 - \left(\frac{l_1}{\varrho_{\text{max}} - r}\right)^2 \cdot \sin^2 \varphi}} - \cos \varphi \right\}. \tag{7.43}$$

Für $\Phi_1 \leq \varphi \leq \Phi_g$

Im Bereich der Nockenspitze erhält man durch analoge Vorgehensweise im Dreieck M_GM₃M₂ den Stößelhub

$$s = \overline{\mathbf{M}_{\mathbf{G}}\mathbf{M}_{\mathbf{3}}} - R_{\mathbf{G}} - r \tag{7.44}$$

$$\overline{M_G M_3} = l_2 \cdot \cos(\Phi_g - \varphi) + (\varrho_{\min} + r) \cdot \cos \psi \tag{7.45}$$

$$l_2 = \overline{M_G M_2}$$

$$s = l_2 \cdot \cos(\Phi_g - \varphi) + (\varrho_{\min} + r)\cos\psi - (R_G + r).$$
 (7.46)

Auch hier wird wieder mit dem Sinussatz der Winkel ψ eliminiert. Für den Stößelhub erhält man dann

$$s = l_2 \cdot \cos(\Phi_g - \varphi) + (\varrho_{\min} + r) \sqrt{1 - \left(\frac{l_2}{\varrho_{\min} + r}\right)^2 \cdot \sin^2(\Phi_g - \varphi)} - (R_G + r).$$
(7.47)

Durch Ableitung von s nach φ erhält man die Stößelgeschwindigkeit

$$v = \omega \cdot l_2 \cdot \sin \left(\Phi_{\rm g} - \varphi\right) \left[1 + \frac{\frac{l_2}{\varrho_{\rm min} + r} \cos \left(\Phi_{\rm g} - \varphi\right)}{\sqrt{1 - \left(\frac{l_2}{\varrho_{\rm min} + r}\right)^2 \sin^2 \left(\Phi_{\rm g} - \varphi\right)}}\right]. \tag{7.48}$$

Durch Ableitung von v nach φ ergibt sich die Stößelbeschleunigung

$$a = -\omega^{2} \cdot l_{2}$$

$$\times \left\{ \cos \left(\Phi_{g} - \varphi \right) + \frac{l_{2}}{\varrho_{\min} + r} \cdot \frac{\cos 2(\Phi_{g} - \varphi) + \left(\frac{l_{2}}{\varrho_{\min} + r} \right)^{2} \sin^{4} \left(\Phi_{g} - \varphi \right)}{\sqrt{\left[1 - \left(\frac{l_{2}}{\varrho_{\min} + r} \right)^{2} \sin^{2} \left(\Phi_{g} - \varphi \right) \right]^{3}}} \right\}.$$

$$(7.49)$$

Zu beachten ist das negative Vorzeichen, das der Nockenspitze auch zur Bezeichnung Verzögerungsflanke verhilft.

7.2.5.2. Tangentennocken

Beim Tangentennocken wird der Radius der Anlaufflanke unendlich. Das vereinfacht die Gleichungen für die kinematischen Größen. Die Betrachtung erfolgt wieder in Hubrichtung (Bild 7.13):

$$s = \overline{\mathrm{M}_{\mathrm{G}}\mathrm{M}_{\mathrm{3}}} - R_{\mathrm{G}} - r \tag{7.50}$$

$$\overline{M_G M_3} = \overline{M_3 B}/\cos \varphi = (R_G + r)/\cos \varphi. \tag{7.51}$$

Daraus folgt der Stößelhub

$$s = (R_G + r) \left(\frac{1}{\cos \varphi} - 1 \right). \tag{7.52}$$

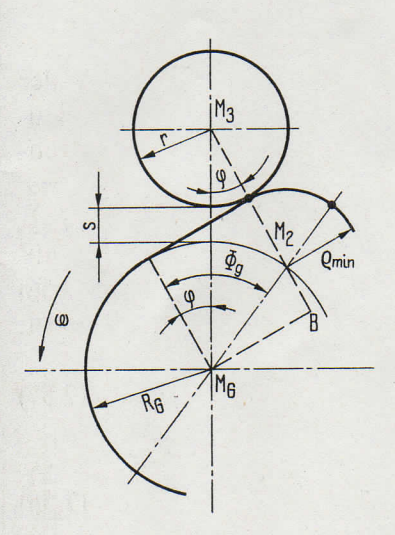


Bild 7.13. Tangentennocken

die Stößelgeschwindigkeit

$$v = \omega(R_{\rm G} + r) \frac{\sin \varphi}{\cos^2 \varphi} \tag{7.53}$$

und die Stößelbeschleunigung

$$a = \omega^2 (R_G + r) \cdot \frac{1 + \sin^2 \varphi}{\cos^3 \varphi}. \tag{7.54}$$

Die Berechnung der kinematischen Größen der Nockenspitze erfolgt gemäß Abschnitt 7.2.5.1.

7.2.5.3. Kreisbogennocken mit Flachstößel

Der Kreisbogennocken mit Flachstößel, auch als harmonischer Nocken bezeichnet, wird häufiger als die vorgenannten Nocken für die Steuerung bei Kraftfahrzeugmotoren verwendet. Er zeichnet sich durch kleine Nockenwellendrehmomente, kleine Berührungspressungen zwischen Nocken und Stößel und geringeren Leistungsbedarf aus. Die kinematischen Größen für die Beschleunigungsflanke werden mit Hilfe des Bildes 7.14 abgeleitet.

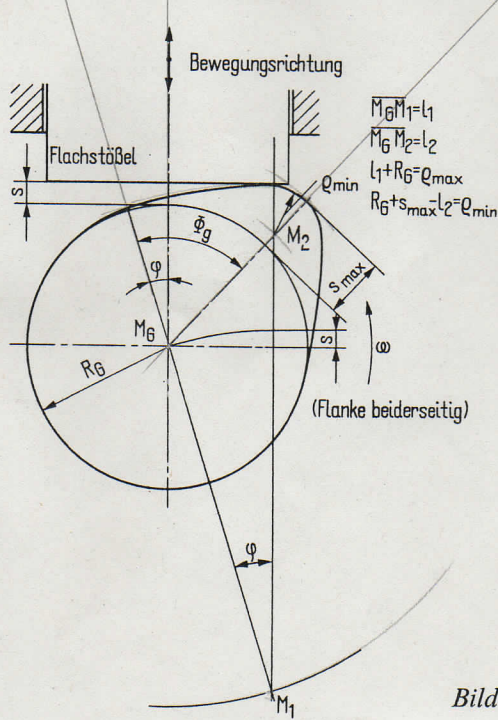


Bild 7.14. Harmonischer Nockentrieb

Für $0 \le \varphi \le \Phi_1$

Es wird an der Berührungsstelle zwischen Stößel und Nocken eine Normale auf der Stößelstirnfläche errichtet, die durch den Mittelpunkt M_1 des Radius ϱ_{max} der Beschleunigungsflanke geht. Auf dieser Normalen werden wieder konstante und vom Nockendrehwinkel φ abhängige Streckenabschnitte abgegriffen:

$$s = \varrho_{\text{max}} - R_{\text{G}} - l_1 \cdot \cos \varphi \tag{7.55}$$

$$l_1 = \overline{\mathrm{M}_{\mathrm{G}}\mathrm{M}_1} = \varrho_{\mathrm{max}} - R_{\mathrm{G}}. \tag{7.56}$$

Damit werden der Stößelhub

$$s = l_1 \cdot (1 - \cos \varphi), \tag{7.57}$$

die Stößelgeschwindigkeit

$$v = \omega \cdot l_1 \cdot \sin \varphi \tag{7.58}$$

und die Stößelbeschleunigung

$$a = \omega^2 \cdot l_1 \cdot \cos \varphi \tag{7.59}$$

berechnet.

Bei diesem häufig verwendeten Nocken soll der Einfluß des Vornockens bzw. der Rampe mit betrachtet werden. Die Rampe führt zu kleinen Aufsetzgeschwindigkeiten des Stößels auf den Nocken und damit kleinem Stoß nach Überwindung des Ventilspieles. Das Ventilspiel 0,1 bis 0,3 mm ist erfordelich, um Längenänderungen im Ventiltrieb relativ zu den Motorgehäuseteilen (Block, Zylinderkopf) bei betriebswarmem Motor auszugleichen. Dieses Spiel darf niemals kleiner null werden, da dann das Ventil nicht mehr vollständig schließt. Liegen die geschlossenen Ventile richtig an ihrem Sitz an, dann erfolgt eine bessere Wärmeabgabe an den Ventilsitz. Schließt das Ventil nicht richtig, kommt es zur Ventilüberhitzung, zur Zerstörung insbesondere der Auslaßventile und zu Ventilschaftabrissen.

Die maximal möglichen Werte der kinematischen Größen für die Rampe können sich mit einem Spiel gleich null bei dem Nockendrehwinkel Φ_0 ergeben (vgl. Bild 7.9).

Es gilt:

$$s_{0 \max} = l_0 \cdot (1 - \cos \Phi_0) \tag{7.60}$$

$$l_0 = \overline{\mathbf{M}_0 \mathbf{M}_G} = \varrho_0 - R_0 \tag{7.61}$$

$$v_{0\,\text{max}} = \omega \cdot l_0 \cdot \sin \Phi_0 \tag{7.62}$$

$$a_{0\,\text{max}} = \omega^2 \cdot l_0 \cdot \cos \Phi_0 \,. \tag{7.63}$$

Damit werden die kinematischen Größen auf der Beschleunigungsflanke bei vollem Ventilspiel

$$s = \varrho_{\text{max}} - R_G - l_1 \cdot \cos \varphi - l_0 \cdot \cos (\varphi + \Phi_0). \tag{7.64}$$

Die Strecke l₁ beträgt bei Berücksichtigung der Rampe

$$l_1 = \overline{M_0 M_1} = \varrho_{\text{max}} - \varrho_0 \tag{7.65}$$

$$v = \omega[l_1 \cdot \sin \varphi + l_0 \cdot \sin (\varphi + \Phi_0)] \tag{7.66}$$

$$a = \omega^2 [l_1 \cdot \cos \varphi + l_0 \cdot \cos (\varphi + \Phi_0)]. \tag{7.67}$$

Für $\Phi_1 \le \varphi \le \Phi_{\mathrm{g}}$

Für die Nockenspitze erhält man den Stößelhub aus (vgl. Bild 7.14)

$$s = l_2 \cdot \cos \left(\Phi_{\rm g} - \varphi\right) + \varrho_{\rm min} - R_{\rm G}$$

$$l_2 = \overline{M_{\rm G} M_2},$$
(7.68)

die Stößelgeschwindigkeit

$$v = \omega \cdot l_2 \cdot \sin\left(\Phi_{\rm g} - \varphi\right) \tag{7.69}$$

und die Stößelbeschleunigung

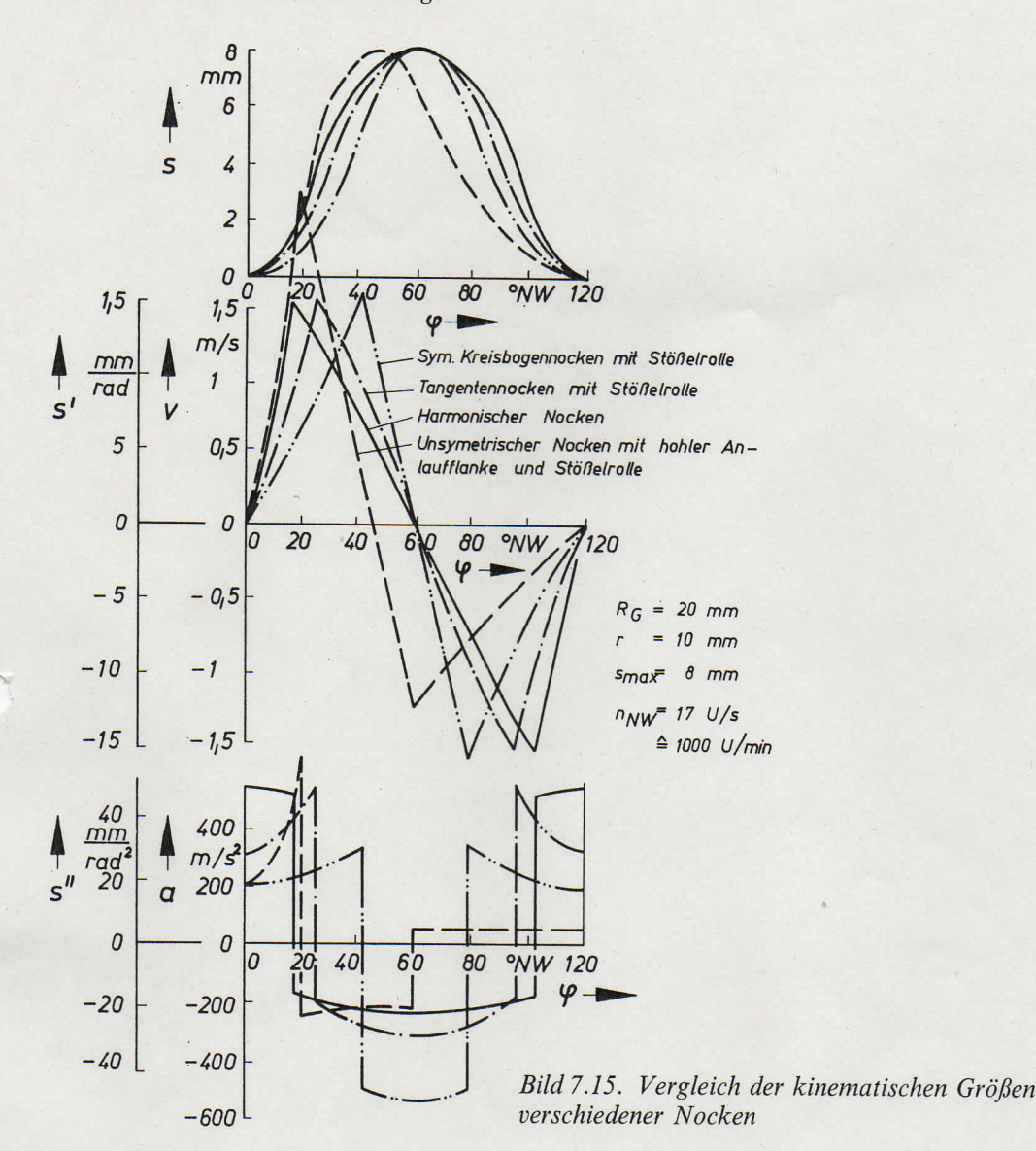
$$a = -\omega^2 \cdot l_2 \cdot \cos\left(\Phi_{\rm g} - \varphi\right) \tag{7.70}$$

erhält man wiederum durch Ableitung von s und v nach φ .

Vergleicht man verschiedene Nocken unter der Voraussetzung gleichen maximalen Ventilhubes $s_{\rm max}$, gleichen gesamten Öffnungswinkels $2\Phi_{\rm g}$ und gleichen Grundkreisradius, ergeben sich Vorteile für den harmonischen Nocken (Bild 7.15). Setzt man die Fülligkeit der Nockenhubkurve

$$A_{\mathbf{D}} = \int_{\varphi=0}^{\varphi=\varphi_{\mathbf{max}}} s \, \mathrm{d}\varphi \tag{7.71}$$

für den harmonischen Nocken $A_{\rm D} = 100\%$, so verringert sich diese beim betrachteten Tangentennocken auf $A_{\rm D} = 90,5\%$, beim unsymmetrischen Kreisbogennocken mit hohler



Anlaufflanke auf $A_{\rm D}=85\%$ und beim symmetrischen Kreisbogennocken mit Rollenstößel auf $A_{\rm D}=74,5\%$. Eine große Fläche $A_{\rm D}$ ergibt auch den größten Zeit- bzw. Winkelquerschnitt.

Beim Tangentennocken ergeben sich zusätzlich große negative Beschleunigungen, die zur Anwendung starker Ventilfedern zwingen. Charakteristisch sind die Beschleunigungsspitzen bei Nocken mit Rollenstößeln. Diese Nockentriebe werden heute hauptsächlich bei Dieseleinspritzpumpen angewendet. Um die Stößelgeschwindigkeit s und die Stößelbeschleunigung s unabhängig von der Motordrehzahl und zur Charakterisierung des Nockens zu verwenden, werden bezogene Geschwindigkeiten s' und Beschleunigungen s" angegeben:

$$s' = v/\omega \tag{7.72}$$

$$s'' = a/\omega^2. (7.73)$$

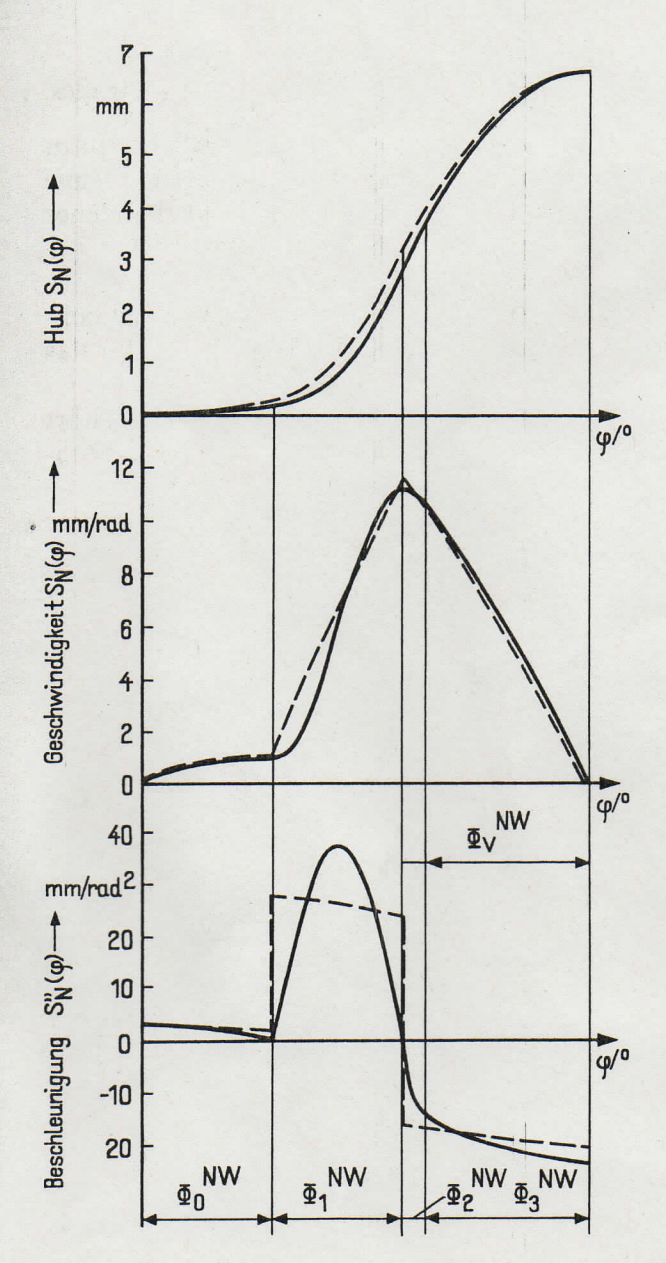
Bei allen bisher betrachteten Nocken gibt es in den Hubwendepunkten Stellen mit sprunghafter Beschleunigungsänderung. Man spricht dann von einem unendlich großen Ruck. Als Ruck \ddot{s} wird die erste Ableitung der Beschleunigung a nach der Zeit t definiert:

$$\ddot{s} = \frac{\mathrm{d}^3 s}{\mathrm{d}t^3} = \frac{\mathrm{d}a}{\mathrm{d}t} = \omega \cdot \frac{\mathrm{d}a}{\mathrm{d}\varphi}. \tag{7.74}$$

Zur Kennzeichnung des Nockens wird der bezogene Ruck

$$s''' = \ddot{s} / \omega^3 \tag{7.75}$$

verwendet.



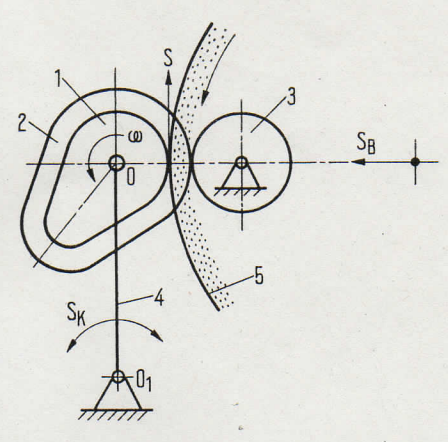


Bild 7.17. Kopierschleifen von Nockenwellen [7.11]

l zu schleifender Nocken; 2 Kopiermodell; 3 Rolle; 4 Support; 5 Schleifscheibe; O_1 Supportschwenkpunkt; s Weg der Werkzeugbewegung; s_K Weg der Supportbewegung; s_B Vorschub; ω Winkelgeschwindigkeit der Nockenwelle

Bild 7.16. Vergleich der kinematischen Größen harmonischer Nocken – ruckarmer Nocken, nach Kurz [7.10]

– – harmonischer Nockentrieb– ruckarmer Nockentrieb

Der Ruck führt zu elastischen Verformungen in den Steuerungsteilen, die die Größen bei statischer Betrachtung überschreiten. Da bei allen Kreisbogennocken ein unendlich großer Ruck auftritt, wird immer mehr zu ruckarmen Nocken für Gaswechselsteuerungen übergegangen.

7.2.5.4. Ruckarmer Nocken

Es gibt verschiedene ruckarme Nocken, insbesondere bezüglich der Form des Vornockens [7.10]. Bewährt hat sich der ruckarme Nocken nach *Kurz* [7.9]. Bild 7.16 zeigt die kinematischen Größen eines "Kurz"-Nockens im Vergleich zum harmonischen Nocken.

Er besteht aus folgenden Abschnitten:

0) Rampe

Der Vornocken wird im Nockendrehwinkelbereich Φ_0 durch eine Viertelperiode einer Sinuslinie gebildet.

1) Beschleunigungsflanke

Der Nockenhub wird im Drehwinkelbereich Φ_1 durch eine halbe Periode einer schiefen Sinuslinie gebildet.

2) Verzögerungsflanke/Abschnitt Φ_2 Im Bereich des Verzögerungsbeginns folgt der Stößelhub der Viertelperiode einer schiefen Sinuslinie.

3) Verzögerungsflanke/Abschnitt Φ_3

In einem großen Bereich der Nockenspitze folgt der Stößelhub einem Polynom 4. Grades.

Moderne ruckarme Nocken werden mit Hilfe von EDV-Anlagen berechnet. Es existiert dazu das Berechnungsprogramm "NKU" an der TU Magdeburg. Ein Programmablaufplan für die Auslegung der gesamten Ventilsteuerung mit Hilfe der EDV – einschließlich vorhandener Rechenprogramme – wird von *Häntzsch* in [7.7] angegeben. Als Beispiel zeigt Abschn. 7.6. ein EDV-Programm zur Berechnung eines "Kurz"-Nockens.

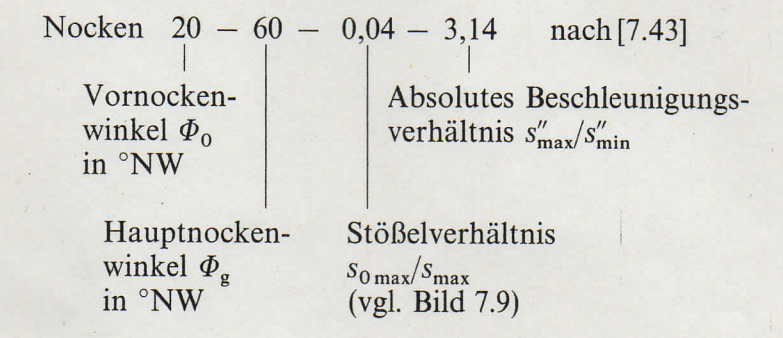
Die Nockenherstellung erfogt auf Kopierschleifmaschinen [7.11]. Die Ausgabe des Lochstreifens zur Steuerung der numerisch gesteuerten Nockenschleifmaschine ist ebenfalls für das

Rechenprogramm [7.49] möglich.

Im Bild 7.17 ist das Kopierschleifen von Nockenwellen schematisch dargestellt. Es gehört zu den Aufgaben des Konstrukteurs, den Meisternocken für das Kopiermodell mit zu berechnen. Die Kontrolle fertiger Nocken erfolgt auf einer Nockenmeßmaschine [7.12].

Die Bezeichung der Nocken erfolgt nach [7.43]. Der ruckarme Nocken wird durch vier

Größen gekennzeichnet. Ein Beispiel soll das verdeutlichen:



7.2.6. Berechnung

Nachdem die kinematischen Größen des Ventiltriebes, d. h. Stößelhub s, Ventilhub $h_{\rm V}$, Stößelgeschwindigkeit v, Ventilgeschwindigkeit $v_{\rm v}$, Stößelbeschleunigung a und Ventilbeschleunigung $a_{\rm V}$, gemäß Abschnitt 7.2.5. ermittelt und in Tabellen- bzw. Diagrammform vorliegen, erfolgt eine Aufzeichnung der Ventilhubkurven relativ zum Kolbenweg (Bild 7.18) im Bereich des oberen Totpunktes (OT). Dabei dürfen sich die Hubkurven für Auslaß- $h_{\rm VAV}$ und Einlaßventil $h_{\rm VEV}$ und die Kolbenhubkurve $s_{\rm K}$ nicht berühren oder gar überschneiden. Das würde zur Zerstörung des Kolbens und der Ventile führen. Bei Halbkugelbrennräumen mit

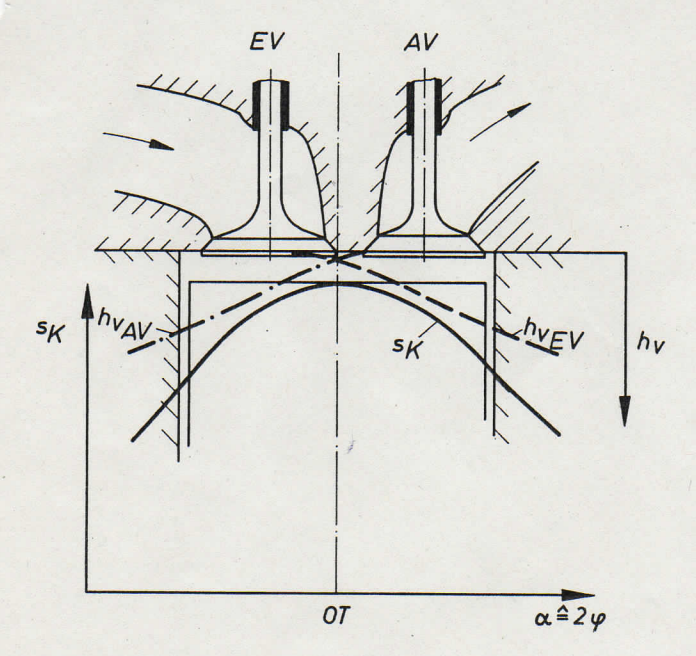


Bild 7.18. Ventilhub und Kolbenweg